

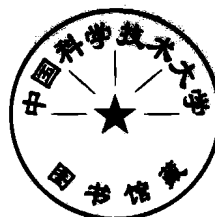
苏联 C. C. 雅可布松著

# 安装和检修发电厂设备时的 焊接工作

# 安装和检修發电厂設備时的 鉗接工作

苏联 C. C. 雅可布松著

周光父譯 陈利华校



电力工业出版社

## 內容提要

本書敘述安裝及檢修發電廠熱機設備時如何施行鉗接作業的問題。

書中還敘述了現有鉗接方法、鉗接設備、金屬結構及管子鉗接工藝的特性，鍋爐汽鼓和鑄鐵零件的修理方法，堆鉗工藝；介紹了施行鉗接作業時所用的材料，以及金屬的氣割與電弧切割等的必備知識。

本書適合從事火力熱電廠設備安裝與檢修工作的廣大工程技術人員和熟練工人閱讀。

С. С. ЯКОВСОН

СВАРКА ПРИ МОНТАЖЕ И РЕМОНТЕ ОБОРУДОВАНИЯ  
ЭЛЕКТРОСТАНЦИЙ

ГОСЭНЕРГОИЗДАТ МОСКВА 1955

## 安裝和檢修發電廠設備時的鉗接工作

根據蘇聯國立動力出版社 1955 年莫斯科版翻譯

周光父譯 陳利華校

\*

751R200

電力工業出版社出版(北京復興門外神路)

北京市書刊出版發行許可證出字第 082 號

北京市印刷一廠排印 新華書店發行

\*

787×1092<sub>16</sub>开本 \* 10 單印張 \* 228 千字 \* 定價(第10類)1.50元

1958年2月北京第1版

1958年2月北京第1次印刷(0001—3,100冊)

## 序 言

苏联动力工程的蓬勃發展，要求在安装發电厂的热工設備时寻求新的工作方法，以保証新的动力裝置能迅速投入运行。安装發电厂設備时，就工作量來說，焊接佔着首要地位之一。

在安装現場上，現在正采用着高生產率的新焊接方法，其中有自動焊接和半自動焊接，廣泛地使用着手工快速焊接法、新的焊接設備和先進的焊接工艺。

安装及檢修單位，在拟訂焊接接头的合理結構、焊接工艺和焊接作業劳动組織等方面，已积累了一些經驗。不过，直到現在这些經驗還沒有被總結出來，因此還沒有被广大的动力安装人員和檢修人員所吸收。

著者編著本書的目的，在于將安裝及檢修單位的經驗加以系統化，并根据这些經驗來介紹在安装現場条件下發电厂热机設備的适当焊接方法和工艺。

本書主要是根据电站建設部工業动力安装管理总局所屬安装公司以及其他有关單位的資料編写的。

著者希望，本書对从事动力設备的安装与檢修工作的工人、工長和技术員們，在拟定焊接过程及焊接工艺时能真正有所帮助。

編著本書時，П.И. 里波夫斯基和 М.Б. 卡普蘭曾給予很大的帮助，著者謹致以深切的謝意。П.И. 里波夫斯基完成編寫第一章的大部分工作，М.Б. 卡普蘭完成編寫第二章的大部分工作。

著 者

# 目 录

## 序言

<b>第一章 現有鉗接法及鉗接設備的特性</b>	4
1-1.在安裝及檢修發電廠設備時各種鉗接法的使用範圍	4
1-2.用金屬電極的手工電弧鉗	7
1-3.鉗劑下自動電弧鉗	9
1-4.氣鉗	11
1-5.電弧鉗設備	14
1-6.自動及半自動鉗接設備	28
1-7.氣鉗設備	36
<b>第二章 鍋爐製造業中所用的鋼、鉗絲、鉗條和鉗劑</b>	47
2-1.鋼的分類	47
2-2.鋼中各種元素對鋼料性質的影響	50
2-3.鍋爐裝置的鋼	53
2-4.金屬質量的檢驗	57
2-5.鉗絲	64
2-6.電弧鉗的鉗條	65
2-7.自動鉗的鉗劑	77
2-8.填充材料的質量檢驗	80
<b>第三章 金屬結構的鉗接工藝</b>	84
3-1.金屬結構的手工電弧鉗	84
3-2.金屬結構的自動鉗及半自動鉗	98
3-3.金屬結構及鍋爐附屬設備的鉗接范例	114
<b>第四章 管子的鉗接工藝</b>	120
4-1.對於鍋爐管與管道的準備及鉗接的一般要求	120
4-2.管子的手工電弧鉗	128
4-3.管子接口的自動鉗	143
4-4.管子的氣鉗	154
<b>第五章 利用鉗接修理鍋爐汽鼓</b>	159

5-1. 陷穴的补焊	160
5-2. 裂缝的焊补	161
5-3. 焊入补板(嵌板)	165
5-4. 管孔的堵塞	172
<b>第六章 铸铁的焊接</b>	174
6-1. 铸铁的性质	174
6-2. 铸铁的热焊	175
6-3. 铸铁的半热焊	180
6-4. 铸铁的冷焊	182
6-5. 用铜合金的铸铁气焊(蠟焊)	186
6-6. 长期受热的铸铁零件的焊接	188
<b>第七章 堆焊工作</b>	189
7-1. 用硬质合金堆焊	189
7-2. 用钢堆焊	198
7-3. 用青铜堆焊	202
<b>第八章 焊接时的应力和变形。焊接接头的热处理</b>	204
8-1. 焊接时的应力和变形及其防止方法	204
8-2. 焊接接头的热处理	208
<b>第九章 金属的气割及电弧切割</b>	218
9-1. 气割过程的本質和气割技术	218
9-2. 气割设备	222
9-3. 电弧切割	230
<b>第十章 焊接质量的检查和技术文件的编制</b>	232
10-1. 焊接接头的缺陷	232
10-2. 焊接质量的检查	237
10-3. 焊接工作技术文件的编制	249
<b>附录</b>	251
1. 发电厂设备铸铁零件的修理例子	251
2. 焊接工作技术文件表格	255
3. 焊接及切割时的材料消耗量	259
<b>参考文献</b>	265

# 第一章 現有鋸接法及鋸接設備的特性

## 1-1. 在安裝及檢修發電廠設備時各種鋸接法的使用範圍

安裝及檢修發電廠熱機設備時的鋸接工作，有許多不同于工廠中鋸接工作的特點。屬於這些特點的有：

- a) 鋸縫在所有各種空間位置的所謂安裝鋸縫佔多數；
- b) 鋸件種類極其繁多；
- c) 對鋸接質量要求高；
- d) 在一個工程項目上的工作期限短促。

安裝發電廠熱機設備時所遇到的鋸接工作，從制件結構、鋸接工藝以及對鋸接接頭的要求等觀點來看，可以大致分為以下兩類：

第一類——建築金屬結構以及主要由鋼板制成的鍋爐附屬設備的鋸接；

第二類——管件的鋸接。

第一類制件不受鍋爐監察局管轄；第二類制件通常必須受鍋爐監察局的管轄，因此，鋸接工作的進行及其驗收，都應根據現行鍋爐監察規程執行。

檢修發電廠熱機設備時，除了這幾種鋸接工作以外，還常常會碰到像堆鋸磨損的表面、鋸補裂縫和鋸接鑄鐵零件那樣的純粹修理操作。

在安裝現場上各種鋸接法的使用範圍，列于表 1-1。

檢修熱機設備時，只采用手工電弧鋸，氣鋸則用得很少。

從表 1-1 可以看出，最通用的鋸接法是手工電弧鋸，它可以用來連接所有空間位置的各種制件。在通用性方面，手工氣鋸可與其相比，氣鋸甚至比電弧鋸具有更大的機動性，因此，當鋸接部位不便接近時，氣鋸被用來鋸接安裝接口如省煤器及蒸汽過熱器管子和聯箱管

接头的接口等。

不过，在焊接接头的质量和生产率方面，电弧焊是比较好的。同时，被焊金属厚度越大，则电弧焊比气焊的优点越多。用优质焊条电弧焊所焊成的焊接接头，其机械性质总是高于气焊接头的机械性质。

因此，凡是焊缝位置许可及焊缝可以接近的地方，都应当力求用电弧焊来代替气焊。

近2—3年来，根据许多安装单位的经验，可以在采用电弧焊来焊接直径38—42公厘的省煤器和蒸汽过热器管子接口的可能性和合理性方面作出结论。如果有直径2.5—3公厘的焊条，则苏联制造的锅炉省煤器及蒸汽过热器管子的所有安装接口，都可以用电弧焊法来

各种焊接法在安装现场上的使用范围

表 1-1

	制件名称	安装现场上所采用的焊接法
建筑金属结构及锅炉附属设备	梁、立柱、循环水管、除氧器罐、各种贮器以及其他用钢板制成的制件	手工电弧焊。焊剂下半自动焊——平焊时。焊剂下自动焊——平焊且有直缝焊缝(长度不少于1.5—2公尺)的大量同型制件时
	煤粉道、烟道及风道	手工电弧焊。焊剂下半自动焊——焊缝在平焊位置时。明弧半自动焊——在任何焊缝位置
	锅炉护板(在垂直面上焊接)	手工电弧焊。明弧半自动焊
	支架、吊架、梯子、平台及其他不计算的零件	手工电弧焊。焊剂下半自动焊——平焊位置时
管件	省煤器、蒸汽过热器和水冷壁等的管子，连通管以及其他直径小于100—150公厘的管子	手工电弧焊——管壁厚度超过4—5公厘时。气焊——管壁厚度小于5公厘并且焊接处不方便接近时
	直径超过150公厘的管道和汽管	手工电弧焊。直径超过200—250公厘管子的圆转接口用焊剂下自动焊

焊接。

近来，用 ПШ-5 型軟管半自動鉗機的半自動鉗接法，越來越廣泛地在安裝現場上使用着，主要是在製造建築金屬結構、煤粉道、煙道和風道的管段箱，以及鉗接鍋爐護板的時候使用。

半自動鉗機，也可以成功地用來鉗接鍋爐的梯子和平臺，在大直徑的管子上鉗上法蘭盤，鉗接角擡架、支座及其他小零件，而在製造用鋼板製成的大直徑管子時，可用来鉗接縱向的和橫向的對接鉗縫。

用鉗車式自動鉗機的鉗劑下自動鉗，在安裝時只有在製造很長的(1.5—2公尺以上)直線鉗縫，並且金屬厚度超過6—8公厘的大量金屬結構時才採用。這多半是在安裝現場製造鍋爐或厂房骨架以及製造循環水管(鉗接卷合管子的縱向鉗縫)以及貯器時使用。

根據在某些安裝現場採用自動鉗的經驗，可以作出結論，在製造兩台蒸發量為230噸/小時鍋爐骨架的金屬結構時，用自動鉗代替手工電弧鉗，從經濟的觀點來看是完全合算的。

應當注意的是，改用自動鉗和半自動鉗時，需要大大地提高對鉗接制件的邊緣加工和裝配的要求。因此，制件改為自動鉗時，還應該同時將備料操作從手工氣割改為自動氣割，或壓剪機切割。

近來，在敷設發電廠外部交通管道——水力除灰、工業用水和供熱系統等管道時，已開始成功地採用了自動鉗。這時，將直徑200—250公厘以上的管子，在一定的地方鉗成長30—50公尺長的管段，然後運到敷設地點。接口用 ПТ-6、ТС-17М型自動鉗機或 ПШ-5型半自動鉗機迴轉着管子來鉗接。外部管道全部接口的70—80%，可改為迴轉管子的自動鉗接。如果50—70%的接口可用自動鉗機來鉗的話，則將這些接口從手工鉗接改為自動鉗接是合算的。

廠內管道由於外形複雜、附件數量很多和所用管子品種繁多，故安裝這些管道時要使鉗接工作自動化是一個比較困難的問題。

直到現在廠內管道的安裝還是分散進行的，並不預先將其裝配成部件，因此，接口的鉗接通常是在高空、狹窄的和不方便的地方進行。管道改為組合安裝法，便可以提出管子接口鉗接過程自動化的問題。

將管子裝配成一組件時，則在地面上鉗成的接口數量，對於廠內高壓管道來說，可約佔接口總數 75%，而對於中、低壓管道來說，可約佔 80%。不過在這些接口當中，現今自動鉗只能用於在鉗接過程中許可轉動的管子接口。廠內管道上可以轉動的接口數量極其有限——只有 10—20%。其餘接口因為管子上有大量彎曲處，就不能旋轉着來鉗接。

安裝中等容量的發電廠時，要鉗接管壁厚 28—35 公厘、直徑超過 250 公厘的高壓管道接口約 400—600 個。這樣大的工作量和對鉗接質量的極高要求，就促使創造出直徑超過 250 公厘、管壁厚達 35 公厘的不轉動管子接口的自動鉗接法和鉗接設備。

可用来鉗接不轉動的管子接口的接觸電鉗和壓力氣鉗法，在安裝現場上采用得有限。這些方法雖有許多優點，但還有一個重大的缺點，就是由於設備笨重，而不能用來鉗接安裝接口。此外，為了施行壓力鉗，必須有一根管子是自由的，以便管子可能朝軸線方向施行頂鉗。

在鍋爐製造廠製造蒸汽過熱器及省煤器時，廣泛地採用著接觸對接鉗。

## 1-2. 用金屬電極的手工電弧鉗

用金屬電極的電弧鉗，是在 1888 年由著名的俄國發明家 H.G. 斯拉維揚諾夫提出並實現的。這一鉗法，是以利用 1802 年俄國院士 B.B. 彼得羅夫所發現的電弧的熱作用為基礎的。

用金屬電極的電弧鉗簡圖示於圖 1-1。鉗弧 4 在金屬電極 2（通常是鋼鉗條）和零件 3 之間燃燒，零件則利用軟導線與交流或直流電源 1 接通。鉗條末端與熔化金屬表面的距離  $l$  叫做電弧長度。

電弧長度固定時電弧电压與鉗接电流之間的關係曲線，示於圖 1-2。研究一下這種所謂鉗弧特性曲線便可以看出，電流超過 40 安培時，電弧电压事實上

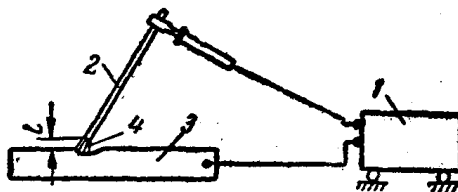


圖 1-1 用金屬電極的電弧鉗簡圖

并不随电流的变化而改变。因此，对于焊接电弧来说，可以利用下列电压与电弧長度的关系式：

$$U = a + bL$$

对于不同焊条类型和电流种类，用試驗方法获得的系数值  $a$  及  $b$  为： $a=10-12$  伏， $b=3$  伏/公厘；一般电弧長度为 3—5 公厘。因此，为了保持焊弧应有的电压約为 18—30 伏。

当电弧間隙中电离作用良好时，这种电压是足以保持正常的电弧放电的。不过在引弧时，18—30 伏的电压是不够的，因为在开始引燃时，焊条末端和制件之間的空气，电离作用很弱，而是一个很大的电阻。通常用焊接电路短路的方法来引弧，即用焊条末端稍微触及制件，随后迅速提起焊条到等于电弧長度的距离。在这种情况下，引弧必須有約 50—60 伏的电压。

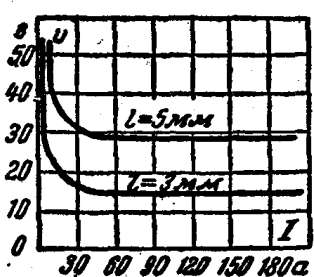


圖 1-2 焊接电弧的特性

金属 焊弧有超过  $5000^{\circ}\text{C}$  的温度。电弧能力約有 80% 以热能形式傳給基本金属，热能消耗于熔化金属和焊条金属的熔化，以及消耗于加热隣近区域，20% 的电弧能力消耗于光綫辐射，以及被金属的蒸汽和濺珠逸散到周圍空間。

电弧的热作用集中在一个小小的面积內，因此可以有效地利用来熔化金属。电弧焊时，由于加热比較集中，热影响区的尺寸比气焊时要小些。

电弧焊时，可用直流發电机或变压器作电源。用直流电施焊时，电弧燃燒比較稳定，因此，焊接过程也比較易于进行。某些焊条有不能用交流电施焊的焊药。例如，УОНИ-13 号焊条和焊鍋爐吊架用的奥氏体高合金钢焊条，就属于这一类焊条。無交流电網时，帶內燃机的直流焊机可以在野外情況下使用。不过，在另一方面，直流焊机較貴，比較不經濟，而且使用的可靠性也較差。因此，在設備的可靠性具有特別重大意义的建筑及安装条件下，用交流电的电弧焊使用較广。

### 1-3. 鋸剂下自動電弧鋸

从1940年起，苏联开始广泛采用鋸剂下自动鋸。鋸剂下鋸法的原理，在上一世紀的90年代中即已被H.G. 斯拉維揚諾夫首次应用。

現代形式的鋸剂下自动鋸，是1927年苏联發明家Д.А. 杜里切夫斯基所建議的。由于烏克蘭蘇維埃社会主义共和国科学院巴頓电鋸研究所、中央机器制造工艺科学研究所、“电工”工厂以及苏联許多其他科学研究單位和工厂的劳动，这种鋸法已获得了进一步的發展。

鋸剂下鋸法的本質，就是利用在散粒狀鋸剂層下燃燒电弧的热作用。这时，鋸絲沿着鋸縫的移动，以及随着鋸絲的燃燒而向鋸縫送进的过程都予以自动化。如果只有一个动作——送条——自动化，则这种鋸接叫做半自动鋸。

鋸剂下自动鋸簡圖示于圖

1-3。繞在輪筒2上的裸鋸絲1，利用裝在鋸頭3上的拉引滾輪送入弧区。鋸接电流从电源4通到鋸头，再利用接触子傳給鋸絲。第2根电源导綫接在制件上。在鋸头前面，安置一个

鋸剂料斗5，鋸剂随着自动鋸机的移动而撒在鋸縫前面的制件上。这样—來，电弧就总在鋸剂下燃燒。

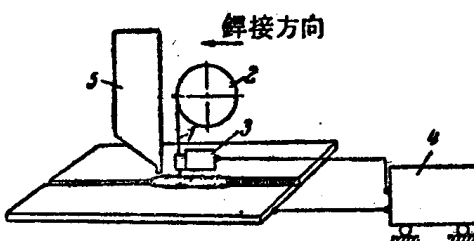


圖 1-3 鋸剂下自动鋸簡圖

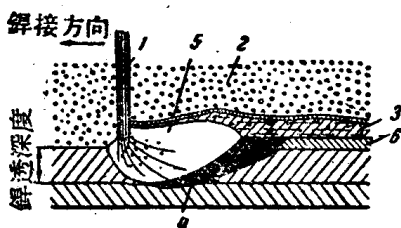


圖 1-4 鋸剂下的鋸接电弧簡圖

1—鋸絲；2—鋸剂層；3—熔渣壳；4—液体金属爐池；5—鋸剂泡；6—鋸絲增强量。

鋸剂下的鋸接电弧簡圖，示于圖 1-4。

在鋸接电弧的热作用下，基本金属、鋸絲和鋸剂都被熔化，甚至蒸發一部分，形成帶有液体鋸剂膜壁的所謂鋸剂泡。因此，鋸剂下的鋸接电弧是在金属及鋸剂的蒸汽中燃燒的。

根据K.B. 留巴夫斯基教授的資料，进行自动鋸时，基本金属參

与形成对接焊缝的份额占 60—70%，而进行手工焊接时，这一数值不超过 20%。

自动焊接时，金属的熔化和焊缝的形成过程，是在焊剂下发生的。焊剂可靠地保护着熔化金属不受大气的有害影响，因此，空气中的氧和氮不会进入焊缝。

焊剂下自动焊有下列优点。

1. 提高生产率。和手工弧焊比起来，自动焊靠着提高焊接速度，其生产率可提高到 5—30 倍；被焊金属越厚，则自动焊的生产率越高。自动焊接速度可达 100 公尺/小时或更高。

在焊剂下自动焊时所以能提高速度，是因为焊接电流接到靠近焊丝的熔化端，而焊剂保护层消除了金属的飞溅。

2. 提高焊接接头质量。焊剂下焊成的焊缝金属的强度极限，通常高于基本金属的强度极限。碳钢焊接头的弯曲角为 180°。在焊缝金属中，没有气孔和夹渣，氮氧含量也最少。所得焊着金属化学成分均匀。

3. 节约填充金属。利用电弧比较集中的加热和较大的能力，基本金属熔化深度增加，这时，需要的焊丝金属数量较少，因为焊缝主要是依靠熔化基本金属来形成的。在焊剂下焊接时，焊丝消耗于烧损、飞溅和焊条头等方面的损失都很小。

4. 由于焊剂下的电弧效率较高，故能节约电能。

5. 改善焊工的工作条件，因为焊接过程已自动化，而且毋需保护焊工的眼睛免受弧光作用。

在平焊位置的自动焊，在工业上已获得了广泛的应用。近来，巴顿电焊研究所拟制了垂直面横焊缝和立焊缝的自动焊接工艺和设备。在安装现场上，大量焊缝都是立焊缝或仰焊缝，而且所制造的是各种不同型式的制件，因此自动焊还没有得到应有的采用。

对于那些采用自动焊机暂时还有困难或者在经济上不合算的制件，为了利用焊剂下自动焊的优点，曾提出了自动送条的半自动焊法。巴顿电焊研究所曾研究出焊剂层下施焊用的软管半自动焊机（ПШ-5 型），这种半自动焊机，在安装现场上进行各种外形焊缝的平焊时已获得应用。

在軟管半自動鉗機上，只有向電弧燃燒區送條的过程是自動化，而鉗絲沿鉗縫移動的过程則由鉗工用手進行。因此呈現了很大的機動性，能夠鉗曲線鉗縫、短鉗縫和斷續鉗縫，還可以根據鉗縫坡口形狀和裝配質量的不同，來改變手把移動速度，以及用手把在鉗縫橫向進行擺動，以增加鉗縫寬度等。

軟管半自動鉗的特点，就是採用細鉗絲。在普通自動鉗機上，採用直徑4—6公厘的鉗絲，而在軟管半自動鉗機上，則採用直徑1.2—2公厘的鉗絲。這就有可能鉗接小斷面的鉗縫，以及施行薄金屬的鉗劑下鉗接法，而不必耽心燒穿。

半自動鉗接時，鉗絲中的電流密度可達200—250安培/公厘<sup>2</sup>（自動鉗接時，電流密度不超過50—70安培/公厘<sup>2</sup>）；提高電流密度，就增加了基本金屬的熔化深度。圖1-5載有用直徑2及5公厘鉗絲施鉗時，鉗縫熔化深度和斷面與電流強度的關係曲線。從這些曲線上可以看出，為了獲得同樣的基本金屬熔化深度，用直徑2公厘的鉗絲施鉗時，比用直徑5公厘鉗絲施鉗時需要小得多的電流。因此，在軟管半自動鉗時，可以使用普通手工電弧鉗用的鉗接變壓器作為電源，從這種變壓器的二次線圈供給400—500安培的電流。而對於自動鉗機來說，則需要能供給約1000安培電流的變壓器。

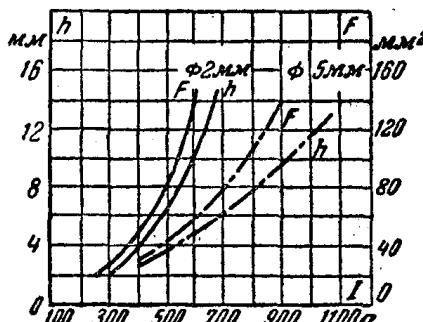


圖1-5 用直徑為2及5公厘的鉗絲施鉗時，鉗縫熔化深度 $h$ 和斷面 $F$ 與電流的關係曲線（鉗接速度15公尺/小時，電壓32—34伏）

用直徑為2公厘的鉗絲的半自動鉗的上述特點，大大地擴大了鉗劑下鉗接法的使用範圍，而且提供了在安裝條件下及建築現場上採用這種先進鉗法的可能性。

#### 1-4. 氣 鉗

氣鉗時，金屬是利用可燃氣體在氧氣中燃燒的火焰所發出的熱來熔化的。

作为可燃气体的，可采用乙炔(电石气)、天然气体、氢、照明气、甲烷、汽油和煤油蒸汽以及火焰温度高于被焊金属熔点，并且其燃烧产物对焊缝质量不起有害作用的其他气体。

表 1-2 载有可燃气体的热力特性。

可燃气体的热力特性

表 1-2

可燃气体称	20°C 及 760 公厘水柱时的低发热量, 大卡/公斤	与氧气混合时的火焰温度, °C	气体成分
乙炔	12 600	3150	C <sub>2</sub> H <sub>2</sub>
氢	2400	2100	H <sub>2</sub>
天然气体	7500—7900	2000	约 98% CH <sub>4</sub>
丙烷丁烷混合物	21 200	2100	—
汽油蒸汽	10 200—10 600	2500—2600	—
煤油蒸汽	10 000—10 200	2450—2500	—

从表上可以看出，乙炔火焰温度最高。因此，用乙炔作为可燃气体的氧炔焊使用最广。

乙炔是利用水作用于电石(碳化钙)而获得的。反应时发出大量的热，且按下列方程式进行：



实际上，1公斤电石分解时获得240到310公升乙炔，耗用5—15公升水。

电石的乙炔发生量取决于电石的品质(夹杂程度)及其粒度，并由TOCT 1460-46(关于电石的标准)作了规定。

电石的分解速度取决于粒度、水温以及电石的夹杂程度。

分解速度随着电石粒度的减小、水温的增高以及所含杂质的减少而提高。2×8公厘大小的电石块的分解延续时间，平均可取为5.5分鐘，15×25公厘大小的——8分鐘，50×80公厘大小的——13分鐘。

在乙炔发生器中所发生的乙炔，含有呈硫化氢(H<sub>2</sub>S)、磷化氢(PH<sub>3</sub>)以及氨(NH<sub>3</sub>)等形式的气体杂质。

焊接时，硫化氢和磷化氢都对焊缝质量起有害影响，因此，根据TOCT 1460-46的规定，乙炔中含硫化氢不应超过0.1%，含磷化氢不

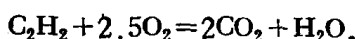
应超过0.06%。乙炔燃烧时，这些气体都进入焊缝金属，而使其含有硫、磷杂质。

用乙炔通过水的方法，差不多可以完全清除乙炔中的硫化氢和氨。因此，大多数乙炔发生器都是这样装置的——也就是使电石分解所得到的乙炔通过水，而硫化氢和氨便溶解在水中。在用水洗涤乙炔时，乙炔从发生器中夹带出来的石灰固体颗粒也清除掉了。

磷化氢是不溶于水的，可用化学方法从乙炔中除去。用盖拉托尔（гератоль）作化学澄清剂，它是一种浸透无水铬酸( $\text{Cr}_2\text{O}_3$ )和硫酸( $\text{H}_2\text{SO}_4$ )的硅藻土。

乙炔可溶于许多液体中。尤其容易溶解于丙酮内：压力为760公厘水银柱及 $15^{\circ}\text{C}$ 时，1个容积的丙酮可溶解约23个容积的乙炔。利用瓶装乙炔时就是利用这种性质，乙炔在气瓶里面是溶解于丙酮中的。

乙炔是一种有爆炸危险的气体。压力为1.5表大气压及温度超过 $580^{\circ}\text{C}$ 时，纯乙炔便分解并随着爆炸。当乙炔与空气的混合物中的乙炔含量为2.2—81%时，在正常压力下即能爆炸。含乙炔7—13%的乙炔空气混合物最容易爆炸。乙炔和氧的混合物当其中乙炔含量为2.8—93%时，在大气压力下，即能因受热而爆炸。乙炔与铜和银能产生化合物，此化合物在受热时可能爆炸。含铜少于70%的铜合金，与乙炔接触时不致产生爆炸性化合物。乙炔在氧气中燃烧时，其最后燃烧产品为二氧化碳和水蒸气：



氧气与乙炔的比例在 $1-1.2$  ( $\frac{\text{O}_2}{\text{C}_2\text{H}_2}$ )

$= 1-1.2$  )的范围内时，所获得的氧炔焰(图1-6 a)包括下列三个区域：焰心、中间区域及外焰。在焰心中，乙炔分解为组成元素，即分

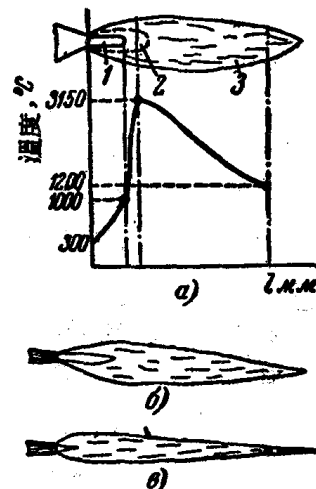


圖 1-6 氧炔焰

a—正常火焰 ( $\frac{\text{O}_2}{\text{C}_2\text{H}_2} = 1-1.2$ )。  
1—焰心；2—中部还原区；3—外焰；b—碳化焰；c—氧化焰。

解为碳和氢。因为燃烧是在氧气中进行的，因此乙炔分解的产品被氧化。在焰心中，乙炔的分解产品为 $2\text{C} + \text{H}_2$ ，第2区域中包括 $\text{CO} + \text{H}_2$ ，第3区域则含有最后的乙炔燃烧产物—— $\text{CO}_2 + \text{H}_2\text{O}$ 。

当改变氧气和乙炔的比例使比例减小( $\frac{\text{O}_2}{\text{C}_2\text{H}_2} < 1$ )，即乙炔过剩时，火焰即变成碳化焰。火焰的外形改变：

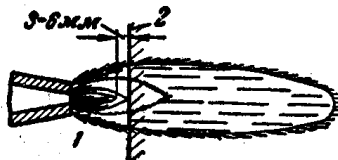


圖 1-7 气焊时零件表面的位置  
1—焰心；2—零件表面。

外焰拉长，呈黄色，焰心增大并失去其清晰的轮廓(圖 1-6 b)。在这种火焰里面，由于氧气不足，乙炔分解产物——碳和氢，没有完全燃烧，会被熔化金属所吸收。用乙炔过剩的火焰焊成的

焊缝，通常是渗碳的，且塑性较低。

当 $\frac{\text{O}_2}{\text{C}_2\text{H}_2} > 1.2$ 时，氧气过剩的火焰(圖 1-6 c)有轮廓分明的焰心和较小的还原区，并呈浅蓝色。火焰的游离氧与焊缝金属化合，将其氧化，使焊接接头质量降低。

沿氧炔焰上的温度分配情况，用曲线示于圖 1-6 a。焰心附近的火焰还原区温度最高，约有 $3100^{\circ}\text{C}$ 。

从上述氧炔焰的性质可以作出以下结论：

- 1) 大多数金属应当用氧气与乙炔比例在 1—1.2 范围内的火焰来焊接；
- 2) 应当用火焰的中部还原区来熔化金属，因为这一区域温度最高，且由还原气体( $\text{CO} + \text{H}_2$ )所组成。零件表面与焰心末端的距离应为 3—6 公厘(圖 1-7)。

氧炔焰没有电弧那样集中。因此，气焊时热影响区比电弧焊时要宽得多，达 25—30 公厘。

用气焊焊成的焊接接头的机械性质，比用优质焊条进行的电弧焊成的低些，但比用电离涂料的 E-34 型焊条所焊成的则要高些。

## 1-5. 电弧焊设备

电弧焊时可采用下列电源：

- a) 直流焊机或高频(500 赫兹或更高)焊机；发电机